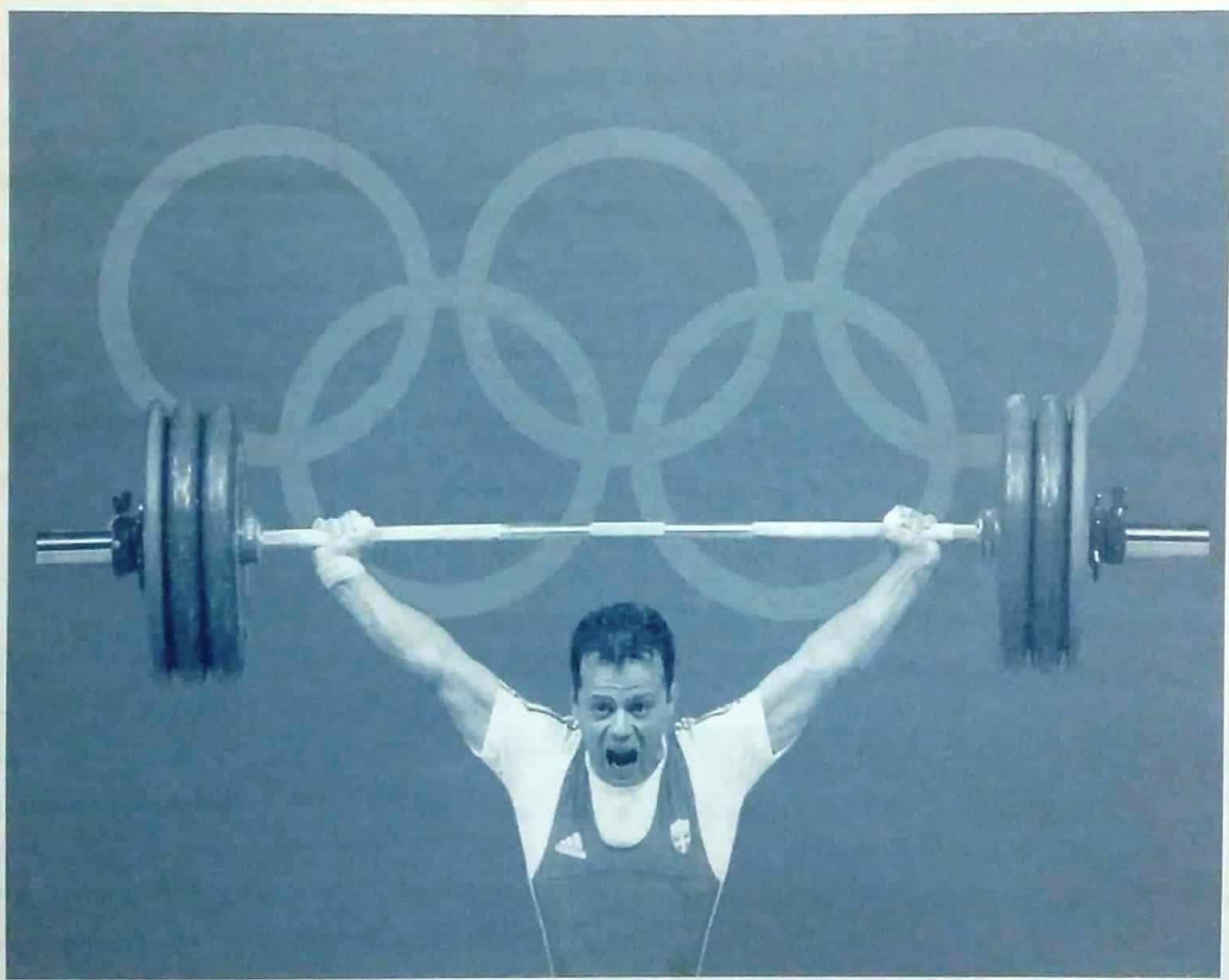




## خمش خالص

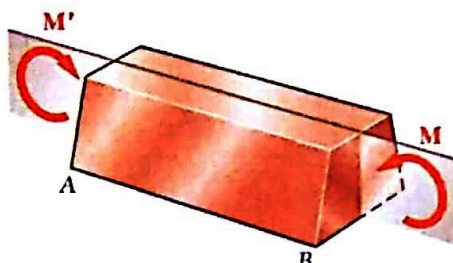


وزنه بردارها هنگام بلند کردن وزنه، دستهای خود را دور فواصل مساوی از وزنهای قرار می‌دهند. این کار موجب ایجاد خمث خالص در بخش مرکزی میله می‌شود. در این فصل خواهید آموخت که چگونه تنشهای عمودی و انحناء ناشی از خمث خالص را تعیین کنید.

## ۱-۱ مقدمه

در فصلهای گذشته آموختید که چگونه تنشها در عضوهای منشوری که تحت بارهای محوری یا گشتاورهای پیچشی قرار دارند را تعیین کنید. در این فصل و دو فصل آینده به تحلیل تنشها و کرنشها در عضوهای منشوری که تحت خمش<sup>\*</sup> قرار دارند خواهیم پرداخت. خمش یکی از مفاهیم اصلی در طراحی بسیاری از ماشینها و اجزاء ساختمانی مانند تیرهایت است.

در این فصل، عضوهای منشوری که گشتاورهای خمشی<sup>\*</sup> مساوی و مخالف  $M$  و  $M'$  در صفحه طولی به آنها وارد می‌شود را مورد تحلیل قرار می‌دهیم. چنین عضوهایی را اصطلاحاً تحت خمش خالص<sup>\*</sup> گویند. بیشتر عضوهایی که در این فصل بررسی می‌شوند دارای یک صفحه تقارن هستند که گشتاورهای  $M$  و  $M'$  در این صفحه به آنها وارد می‌شوند (شکل ۱-۴).



شکل ۱-۴

<sup>\*</sup>bending

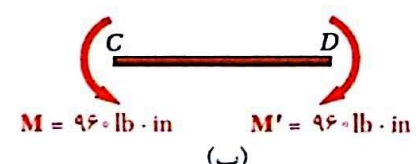
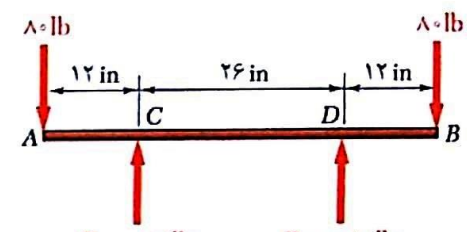
توجه: واژه bending moment، به «نگر خمشی» نیز ترجمه می‌شود.

<sup>\*</sup>pure bending

خمش میله وزنهای که توسط وزنه بردار در بالای سر قرار می‌گیرد نمونه بارزی از خمش خالص است. این میله، دو وزنه مساوی که در فواصل برابر از دستان وزنه بردار قرار دارند را تحمل می‌کند. به علت تقارن نمودار آزاد میله، نیروهای عکس العمل دست باید برابر و در جهت مخالف وزنه‌ها باشند (شکل ۲-۴ الف). به این ترتیب، با در نظر گرفتن بخش میانی میله، یعنی  $CD$ ، وزنه‌ها و عکس العمل آنها رامی‌توان با دو گشتاور خمشی مساوی و مخالف  $96 \text{ lb} \cdot \text{in}$  جایگزین کرد و نشان داد که بخش میانی میله تحت خمش خالص است (شکل ۲-۴ ب). تحلیلی مشابه برای میل محور یک تریلر کوچک نیز نشان می‌دهد که بخش میانی میل محور که بین دو نقطه اتصال آن با تریلر قرار دارد، تحت خمش خالص است (شکل ۳-۴).

اگرچه کاربردهای فراوان و متنوعی رامی‌توان برای خمش خالص بر شمرد، اما برای نشان دادن اهمیت پدیده خمش خالص، در این فصل، نتایج حاصل از تحلیل انواع دیگر بارگذاری مانند بارگذاری‌های محوری خارج از مرکز و بارگذاری عرضی را نیز بیان خواهیم کرد.

در شکل ۴-۴ یک گیره فولادی رامی‌بینید که فکهای آن نیروی  $150 \text{ lb}$  به دو تکه چوب که قصد چسباندن آنها به یکدیگر را داریم وارد می‌کند. شکل ۵-۴ الف نیروهای برابر و مخالفی که از طرف چوبها به فکهای گیره وارد می‌شوند را نشان می‌دهد. این نیروها موجب یک بارگذاری خارج از مرکز



شکل ۲-۴

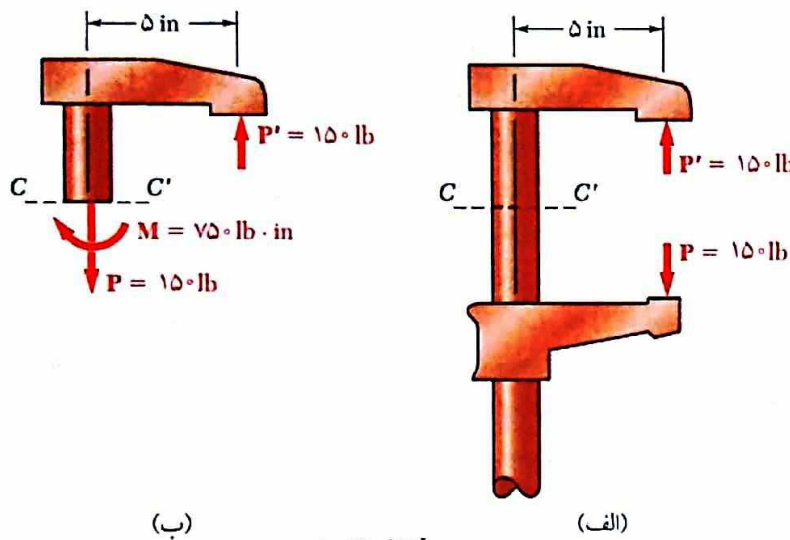
<sup>\*</sup>eccentric loading

بخش مرکزی میل محور این تریلر کوچک تحت خمش خالص قرار دارد.

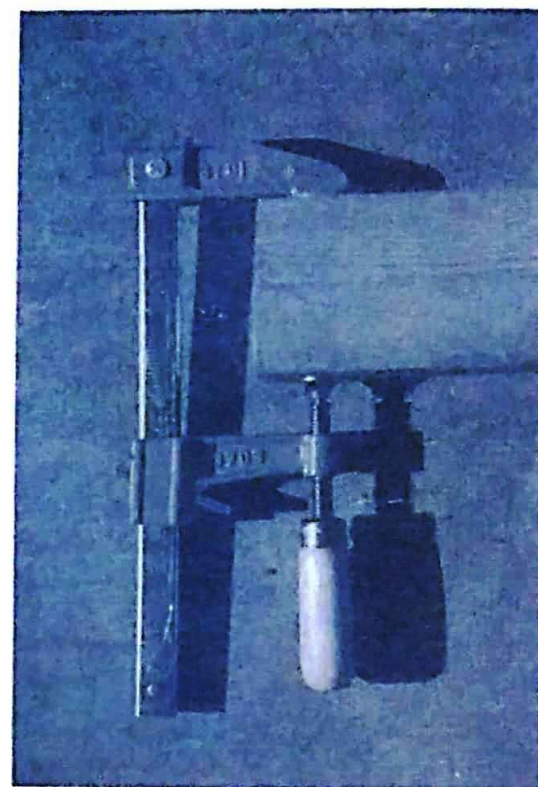


شکل ۴-۴

بر روی بدن گیره می‌شوند. در شکل ۵-۴-ب، بدن گیره را در مقطع  $CC'$  برش داده و نمودار آزاد نیمه بالای آن را رسم نموده‌ایم. که از آنجا، نیروی محوری داخلی  $P = 150 \text{ lb}$  و گشتاور خمثی  $M = 750 \text{ lb} \cdot \text{in}$  بدست می‌آیند. به این ترتیب، می‌توانیم اطلاعات خود پیرامون تنشهای ناشی از بارگذاری مرکزی و نتایج حاصل از تحلیل آتی پیرامون تنشهای ناشی از خمش خالص را به منظور دستیابی به توزیع تنشها در اثر بارگذاری خارج از مرکز با یکدیگر ترکیب کنیم. در بخش ۱۲-۴ به این موضوع خواهیم پرداخت.



شکل ۵-۴

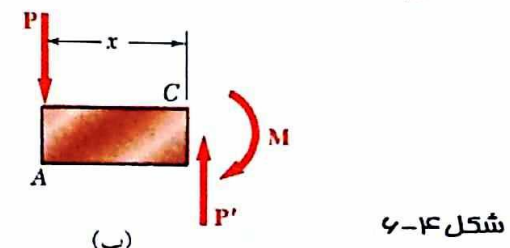
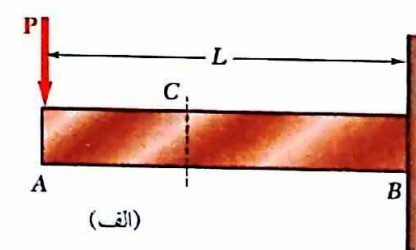


شکل ۱۵-۱۴

علاوه بر آین، مطالعه خمش خالص، یک نقش اساسی در بررسی تیرها، یعنی عضوهای منشوری که تحت انواع مختلف بارهای عرضی قرار دارند، ایفاء می‌کند. برای مثال، تیر یکسر درگیر  $AB$  که بار مرکز  $P$  به سر آزاد آن وارد می‌شود را در نظر بگیرید (شکل ۱۵-۶-الف). اگر این تیر را در نقطه  $C$  به فاصله  $x$  از نقطه  $A$  برش دهیم، با توجه به نمودار آزاد قسمت  $AC$  (شکل ۱۵-۶-ب) می‌بینیم که نیروهای داخلی وارد به این مقطع شامل نیروی  $P'$  برابر و مخالف  $P$  و گشتاور خمثی  $M$  با اندازه  $M = Px$  است. توزیع تنشهای عمودی در این مقطع را می‌توان با توجه به گشتاور خمثی  $M$  با این شرط که تیر تحت خمش خالص است بدست آورد. از طرف دیگر، تنشهای برشی در این مقطع بستگی به نیروی  $P'$  دارد، و شما در فصل ۶ خواهید آموخت که چگونه توزیع اینگونه نیروها را در یک مقطع تعیین کنید.

در نخستین قسمت این فصل به تحلیل تنشها و تغییرشکل‌های ناشی از خمش خالص در یک عضو همگن با یک صفحه تقارن و ماده‌ای که از قانون «هوک»<sup>\*</sup> پیروی می‌کند خواهیم پرداخت. در یک بحث مقدماتی پیرامون تنشهای ناشی از خمش (بخش ۲-۴)، از روش‌های استاتیک برای استخراج سه معادله اساسی که بایستی توسط تنشهای عمودی در هر مقطع دلخواه از یک عضو برقرار شوند استفاده می‌کنیم. در بخش ۳-۴، نشان می‌دهیم که مقاطع عرضی در عضوی که تحت خمش خالص قرار دارد، مسطح باقی می‌مانند. در بخش ۴-۴، روابط مربوط به تعیین تنشهای عمودی و همچنین شعاع انحنای عضو در ناحیه الاستیک را بدست خواهیم آورد.

در بخش ۴-۶، تنشها و تغییرشکل‌ها در عضوهای مرکب<sup>\*</sup> که بیش از یک ماده در ساخت آنها بکار رفته است را بررسی خواهیم کرد. به عنوان نمونه‌ای از این نوع تیرها می‌توان به تیرهای بتونی مسلح اشاره کرد که از بتون و میلگردهای فولادی ساخته شده‌اند و کاربردهای گسترده‌ای در ساخت بناها و پله‌ها دارند. خواهید آموخت که چگونه سطح مقطع معادل<sup>\*</sup> یک عضو مرکب را با شبیه‌سازی آن به یک عضو همگن به منظور محاسبه تغییرشکل‌های ناشی از بارگذاری ترسیم کنید. به کمک این سطح مقطع



شکل ۱۵-۶

\*composite members

\*transformed section

معادل می‌توانید تنشها و تغییرشکلها در عضو مرکب اولیه را بدست آورید. بخش ۷-۴ به تعیین تمرکز تنش در مکانهایی که تغییرناگهانی سطح مقطع داریم اختصاص دارد.

در قسمت بعدی این فصل، به مطالعه تغییرشکل پلاستیک در حالت خمش، یعنی تغییرشکل خمشی عضوهایی که تابع قانون «هوک» نیستند خواهیم پرداخت. پس از بررسی کلی تغییرشکل چنین عضوهایی (بخش ۴-۸)، به مطالعه تنشها و تغییرشکلها در عضوهایی که از مواد الاستوپلاستیک ساخته شده‌اند می‌پردازیم (بخش ۴-۹). با محاسبه بیشترین گشتاور خمشی الاستیک  $M_y^*$  که متناظر با آغاز تسلیم است، به بررسی اثرات گشتاورهای بزرگتر تا رسیدن به گشتاور خمشی پلاستیک  $M_p$  که عضو در آن به طور کامل تسلیم می‌شود خواهیم پرداخت. همچنین خواهید آموخت که چگونه تغییرشکلهای ماندگار و تنشهای پسماند<sup>۱۰</sup> ناشی از این نوع بارگذاری را تعیین کنید (بخش ۴-۱۱).

با استی خاطر نشان کنیم که در طول نیم قرن گذشته خاصیت الاستوپلاستیک فولاد به طور گسترده در طراحی‌ها برای بالا بردن ضریب اطمینان و کاهش هزینه‌ها مورد استفاده قرار گرفته است.

در بخش ۱۲-۴ تحلیل بارگذاری محوری خارج از مرکز<sup>۱۱</sup> بر روی صفحه تقارن یک عضو، مانند آنچه در شکل ۴-۴ می‌بینید را به روش «بر هم نهی»<sup>۱۲</sup> تنشهای ناشی از خمش خالص و بارگذاری محوری مرکزی خواهیم آموخت.

مبحث خمش عضوهای متشوری با ارائه تحلیل خمش غیر متقارن<sup>۱۳</sup> (بخش ۱۳-۴)، و بررسی حالت کلی بارگذاری محوری خارج از مرکز (بخش ۱۴-۴) پایان می‌پذیرد. بخش پایانی این فصل، یعنی بخش ۱۵-۴، به تعیین تنشها در عضوهای خمیده<sup>۱۴</sup> اختصاص دارد.

<sup>۱۰</sup> elastoplastic materials

<sup>۱۱</sup> maximum elastic moment

<sup>۱۲</sup> plastic moment

<sup>۱۳</sup> residual stresses

<sup>۱۴</sup> permanent deformations

<sup>۱۵</sup> eccentric axial loading

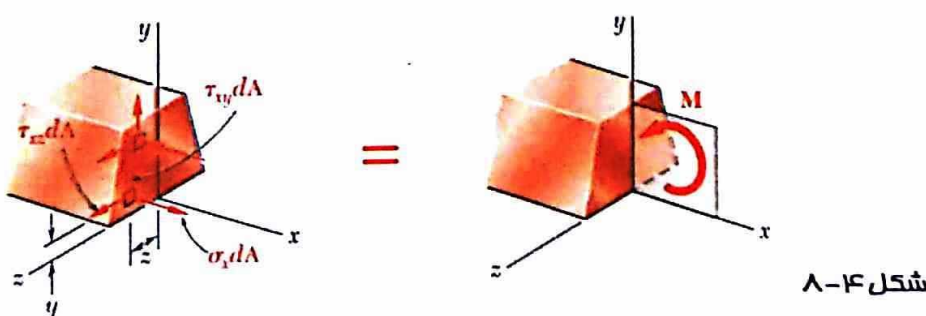
<sup>۱۶</sup> unsymmetric bending

<sup>۱۷</sup> curved members

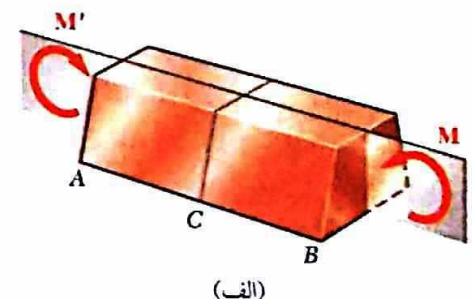
## ۴-۲ عضوهای متقارن در خمش خالص

عضو منشوری  $AB$  را در نظر بگیرید که دارای یک صفحه تقارن است و گشتاورهای خمشی مساوی و مخالف  $M$  و  $M'$  در این صفحه به آن وارد می‌شوند (شکل ۷-۴-۱۷الف). می‌دانیم که اگر عضو  $AB$  را در نقطه دلخواه  $C$  در جهت عرضی برش دهیم، شرط تعادل بخش ۷-۴ مستلزم این است که نیروهای داخلی در این مقطع برابر با گشتاور خمشی  $M$  باشد (شکل ۷-۴-۱۷ب). بنابراین، نیروهای داخلی در هر مقطع از یک عضو متقارن در خمش خالص، معادل با یک گشتاور خمشی است. با استفاده از قاردادهای متداول، علامت گشتاور خمشی  $M$  وارد به عضو شکل ۷-۴ الف را مثبت می‌گیریم، یعنی هنگامی که سطح بالایی تیر به صورت مقعر در می‌آید. طبیعتاً، خلاف این جهت را منفی می‌گیریم.

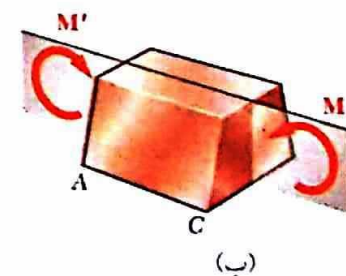
چنانچه تنش عمودی در یک نقطه معین از مقطع عرضی را با  $\sigma_x$  و مؤلفه‌های تنش برشی را با  $\tau_{xy}$  و  $\tau_{xz}$  نشان دهیم، می‌توان گفت که مجموع مؤلفه‌های نیروهای داخلی در این مقطع، معادل با گشتاور خمشی  $M$  است (شکل ۸-۴-۸).



شکل ۸-۴-۸



(الف)



(ب)

شکل ۷-۴-۱۷

از درس استاتیک به خاطر دارید که گشتاور خمشی  $M$  متشکل از دو نیروی مساوی و مخالف است، به گونه‌ای که مجموع مؤلفه‌های این نیروها در هر جهت برابر صفر است. علاوه بر این، گشتاور یک جفت نیرو (کوپل) نسبت به هر محور عمود بر صفحه آن یکسان، و نسبت به هر محوری که از

این صفحه بگذرد برابر صفر است. چنانچه محور  $z$  را نگونه که در شکل ۴-۸ می‌بینید انتخاب کنیم، می‌توان معادل بودن مؤلفه‌های نیروهای داخلی با گشتاور  $M$  را به صورت زیر نشان داد:

$$\int \sigma_x dA = 0 \quad \text{مؤلفه‌های } x : \quad (1-4)$$

$$\int z\sigma_x dA = 0 \quad \text{گشتاور حول محور } z : \quad (2-4)$$

$$\int (-y\sigma_x dA) = M \quad \text{گشتاور حول محور } z : \quad (3-4)$$

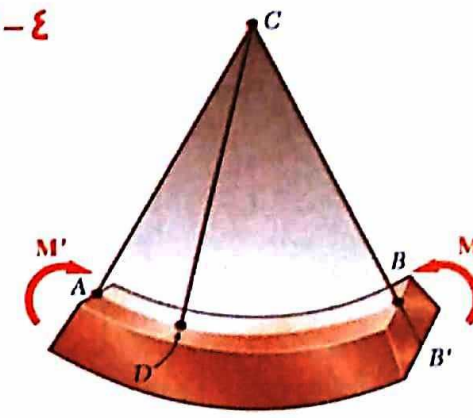
سه معادله اضافی دیگر را می‌توان از برابر صفر قرار دادن مجموع مؤلفه‌های  $y$ ، مؤلفه‌های  $z$ ، و گشتاورها نسبت به محور  $x$  بدست آورد، اما این معادلات تنها حاوی مؤلفه‌های نتش برشی هستند و همانگونه که در بخش بعد خواهد دید، مؤلفه‌های تنشهای برشی هر دو برابر صفرند.

در اینجا باید به دو نکته اشاره کنیم: (۱) علامت منفی در معادله (۳-۴) به خاطر این است که نتش کششی ( $\sigma_x < 0$ ) منجر به گشتاور منفی ( ساعتگرد ) نیروی عمودی  $\sigma_x dA$  نسبت به محور  $z$  می‌شود. (۲) معادله (۲-۴) را به راحتی می‌توان انتظار داشت، چراکه وارد کردن گشتاور خمثی در صفحه تقارن عضو  $AB$  منجر به یک توزیع نتش عمودی می‌شود که نسبت به محور  $z$  متقابله است. بار دیگر خاطرنشان می‌کنیم که توزیع واقعی تنشها در یک مقطع مشخص را نمی‌توان تنها به کمک روابط استاتیک تعیین کرد، چراکه این یک مسئله نامعین استاتیکی است. توزیع تنشها را می‌توان با تحلیل تغییرشکل ایجاد شده در عضو بدست آورد.

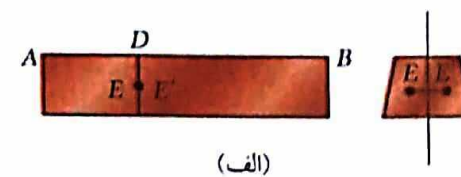
### ۴-۳ تغییرشکل یک عضو متقارن در خمث خالص

اینک، به تحلیل تغییرشکل یک عضو منشوری با یک صفحه تقارن که ابتدا و انتهای آن تحت کوپل خمثی  $M$  و  $M'$  قرار دارد می‌پردازیم. عضو تحت اثر این کوپل خم می‌شود، اما تقارن خود را نسبت به صفحه کما کان حفظ می‌کند (شکل ۹-۴). علاوه بر این، از آنجاکه گشتاور خمثی  $M$  در هر مقطع یکسان است، عضو به طور یکنواخت خم می‌شود. بنابراین، خط  $AB$  که مکان برخورد صفحه تقارن با سطح بالایی عضو است دارای یک انحنای ثابت خواهد بود. به عبارت دیگر، خط  $AB$  که در ابتدای یک خط راست بود به کمانی از یک دایره با مرکز  $C$  تبدیل می‌شود، خط  $A'B'$  که محل برخورد سطح پایینی عضو با صفحه تقارن است (در شکل نشان داده نشده) نیز چنین حالتی خواهد داشت. هنگامی که عضو به صورتی که در شکل می‌بینید خم شود (یعنی هنگامی که  $0 < M < M'$  است) طول خط  $AB$  کاهش می‌یابد، حال آنکه در این حالت طول خط  $A'B'$  افزایش پیدا می‌کند.

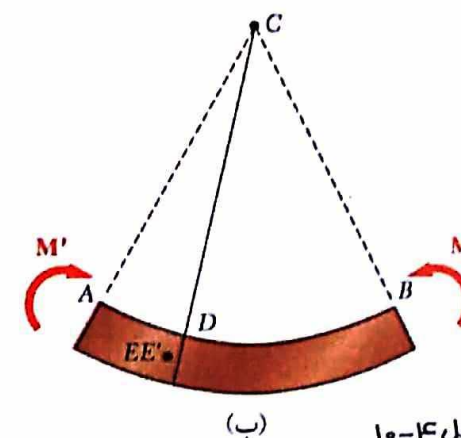
در مرحله بعد، اثبات می‌کنیم که هر مقطع عمود بر محور این عضو، مسطح باقی خواهد ماند و امتداد تمام این صفحات از نقطه  $C$  خواهد گذشت. اگر آنچه فرض کردیم درست نباشد، نقطه‌ای مانند  $E$  واقع بر مقطع اولیه  $CD$  را می‌توان یافت (شکل ۴-۱۰-۱الف) که پس از خمث عضو، بر روی صفحه عمود بر صفحه تقارن که خط  $CD$  را دربرمی‌گیرد قرار نخواهد گرفت (شکل ۴-۱۰-۱ب). اما به علت تقارن عضو، نقطه دیگری مانند  $E'$  وجود خواهد داشت که دقیقاً به همین روش تغییرشکل خواهد داد. فرض می‌کنیم که پس از خمث تیر، همانگونه که در شکل ۴-۱ب می‌بینید، هر دو نقطه در سمت چپ صفحه  $CD$  قرار داشته باشند. از آنجاکه مقدار گشتاور خمثی  $M$  در تمام طول عضو ثابت است، وضعیت مشابهی در هر مقطع دیگر حاکم خواهد بود و نقاط متناظر با  $E$  و  $E'$  به سمت چپ حرکت خواهند کرد. بنابراین، از دیدگاه بیننده‌ای که در نقطه  $A$  قرار دارد بارگذاری موجب می‌شود که نقاط  $E$  و  $E'$  که در مقاطع مختلف قرار دارند به سمت جلو (به طرف بیننده) حرکت کنند. اما از دیدگاه بیننده‌ای که در نقطه  $B$  قرار دارد قضیه کاملاً بر عکس است. این تناقض منجر به این نتیجه می‌شود که نقاط  $E$  و  $E'$  بر روی صفحه  $CD$  قرار دارند، به این معنی که صفحات پس از خمث مسطح باقی می‌مانند و از نقطه  $C$  می‌گذرند. با این وجود، خاطرنشان می‌کنیم که این بحث امکان تغییرشکل صفحه یک سطح مقطع را متفاوت نمی‌داند (به بخش ۵-۵ نگاه کنید).



شکل ۹-۴



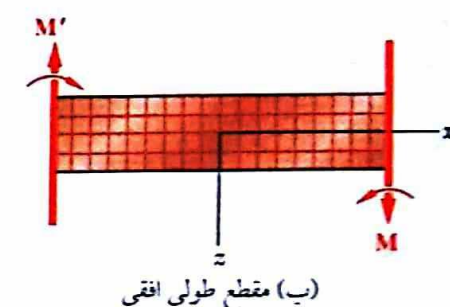
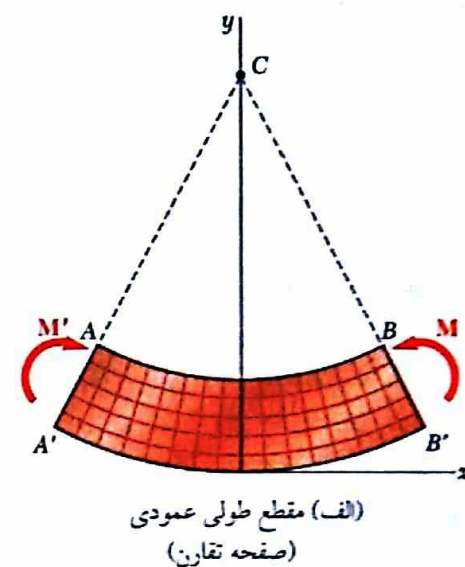
(الف)



شکل ۱۰-۱(ب)

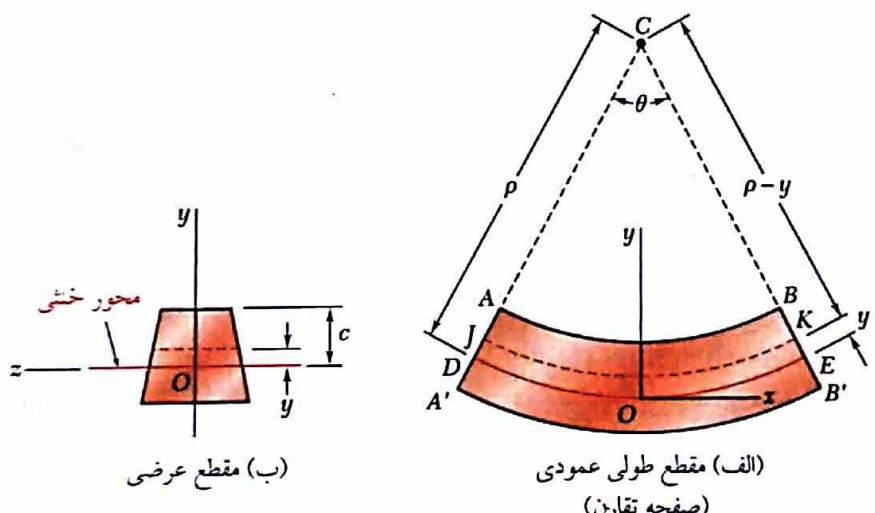
فرض می‌کنیم که این عضو به تعداد زیادی مکعبهای کوچک تقسیم شده است به گونه‌ای که وجوه مکعبها موازی با صفحات سه گانه مختصاتند. پس از وارد کردن کوپلهای  $M$  و  $M'$  به این عضو، طبق خاصیتی که اثبات کردیم، اجزاء این عضو باید به گونه‌ای که در شکل ۱۱-۴ می‌بینید، تغییر شکل دهند. از آنجا که تمام وجوهی که در دو نمای شکل ۱۱-۴ می‌بینید نسبت به هم دارای زاویه  $90^\circ$  هستند می‌توان نتیجه گرفت که  $\gamma_{xx} = \gamma_{yy}$ ، و از آنجا  $\tau_{xy} = \tau_{yx}$ . توجه کنید که سه مؤلفه تنش  $\sigma_x$ ،  $\sigma_y$  و  $\tau_{xy}$  بر روی سطوح این عضو باید برابر صفر باشند. از طرف دیگر، از آنجا که تغییر شکلهای بوجود آمده مستلزم هیچ‌گونه تأثیر متقابلی بین اجزاء در یک مقطع عرضی نیست می‌توان فرض کرد که این سه مؤلفه تنش در سراسر عضو برابر صفرند. مشاهدات تجربی و اصول ثوری الاستیستیته برای قطعات نازک و بلند که تحت تغییر شکلهای کوچک قرار می‌گیرند درستی این فرض را تأیید می‌کنند<sup>۱</sup>. بنابراین، تنها مؤلفه تنش غیر صفری که به هر یک از مکعبها وارد می‌شود مؤلفه  $\sigma_x$  خواهد بود. به این ترتیب، در هر نقطه از یک عضو باریک و بلند که تحت خمش خالص قرار داشته باشد حالت تنش تک محوری خواهیم داشت. یادآوری می‌کنیم که برای  $M > M'$  طول خطوط  $AB$  و  $A'B'$  به ترتیب کاهش و افزایش می‌یابد، که از آنجا که  $\sigma_x$  و تنش  $\tau_{xy}$  در بخش بالایی عضو، منفی (فشاری) و در بخش پایینی آن، مثبت (کشی) خواهد بود.

از بحث بالا چنین برمی‌آید که باید صفحه‌ای موازی با سطوح بالایی و پایینی عضو وجود داشته باشد که در آن،  $\sigma_x$  و  $\tau_{xy}$  برابر صفر باشند. این صفحه را سطح ختشی<sup>\*</sup> گویند. سطح خشی، صفحه تقارن را در امتداد کمانی از دایره  $DE$  قطع می‌کند (شکل ۱۲-۴ الف). محل برخورد سطح خشی با یک مقطع عرضی نیز یک خط راست است که محور خشی<sup>\*\*</sup> نامیده می‌شود (شکل ۱۲-۴ ب). برخلاف گذشته که مبدأ مختصات را بر روی سطح پایینی عضو قرار می‌دادیم، از این به بعد مبدأ مختصات را بر روی سطح خشی قرار می‌دهیم و فاصله عرضی هر نقطه تا محور خشی را با  $y$  نمایش می‌دهیم.



شکل ۱۱-۴

\* neutral surface  
\*\* neutral axis



شکل ۱۲-۴

چنانچه شعاع کمان  $DE$  را با  $m$  (شکل ۱۲-۴ الف)، و زاویه مرکزی مقابل به کمان  $DE$  را با  $\theta$  نشان دهیم، با توجه به اینکه طول کمان  $DE$  برابر با طول عضو  $L$  پیش از تغییر شکل است، داریم:

$$L = \rho\theta \quad (4-4)$$

طول کمان  $JK$  که در فاصله  $y$  از بالای سطح خشی قرار دارد، برابر است با:

$$L' = (\rho - y)\theta \quad (4-5)$$

<sup>1</sup> به مثله ۳۲-۴ نگاه کنید.

از آنجاکه طول اولیه کمان  $JK$  برابر  $L$  بود، تغییر طول  $JK$  چنین خواهد بود:

$$\delta = L' - L \quad (6-4)$$

با جایگذاری معادلات (۴-۴) و (۵-۴) در (۶-۴) به رابطه زیر می‌رسیم:

$$\delta = (\rho - y)\theta - \rho\theta = -y\theta \quad (7-4)$$

کرنش طولی  $\epsilon$  در اجزاء  $JK$  از تقسیم  $\delta$  به طول اولیه آن یعنی  $L$  بدست می‌آید:

$$\epsilon_x = \frac{\delta}{L} = \frac{-y\theta}{\rho\theta} \quad \text{یا}$$

$$\epsilon_x = -\frac{y}{\rho} \quad (8-4)$$

علامت منفی به این خاطر است که فرض کردیم گشتاور خمی مثبت است و سطح بالایی تیر، شکل مقعر به خود می‌گیرد.

به علت موضع ماندن مقاطع موازی، تغییرشکل یکانی در تمام صفحات موازی با صفحه تقارن رخ خواهد داد. بنابراین، مقدار کرنش که از معادله (۸-۴) بدست می‌آید در تمام نقاط معتبر است و می‌توان توجه گرفت که کرنش عمودی طولی  $\epsilon$  با فاصله  $y$  از سطح خشی به طور خطی تغییر می‌کند. بیشترین مقدار مطلق کرنش  $\epsilon_m$  هنگامی حاصل می‌شود که  $y$  بیشترین مقدار باشد، اگر بیشترین فاصله از سطح خشی را با  $c$  نشان دهیم (که منطبق بر سطح بالایی یا پایینی عضو است)، در این صورت بیشترین مقدار مطلق کرنش  $\epsilon_m$  از رابطه زیر بدست می‌آید:

$$\epsilon_m = \frac{c}{\rho} \quad (9-4)$$

با حل رابطه (۹-۴) برای  $\rho$  و جایگذاری مقدار آن در معادله (۸-۴) می‌توان چنین نوشت:

$$\epsilon_x = -\frac{y}{c}\epsilon_m \quad (10-4)$$

تحلیل تغییرشکل یک عضو در خمش خالص را بایان این مطلب به پایان می‌بریم که هنوز قادر به محاسبه کرنش یا نشش در یک نقطه معین از عضو نیستیم، چراکه هنوز محل سطح خشی در عضو را نمی‌دانیم.<sup>۲</sup>

#### ۴-۴ تنشها و تغییرشکلها در ناحیه الاستیک

اینک، حالتی را در نظر می‌گیریم که گشتاور خمی  $M$  به اندازه‌ای است که تنشهای عمودی ایجاد شده در عضو کمتر از استحکام تسلیم  $\sigma_y$  باشند. این بدن معنی است که برای تمام کاربردهای عملی، تنشهای در عضو زیر حد تسلیم و حد الاستیک هستند، تغییرشکل ماندگار وجود ندارد و قانون «هوک» برای تنش تک محوری بکار می‌رود. چنانچه ماده را همگن فرض کنیم و مدول الاستیستیه آن را با  $E$  نمایش دهیم، در جهت طولی  $x$  رابطه زیر برقرار خواهد بود:

$$\sigma_x = E\epsilon_x \quad (11-4)$$

با ضرب طرفین معادله (۱۰-۴) در  $E$  چنین خواهیم داشت:

$$E\epsilon_x = -\frac{y}{c}(E\epsilon_m)$$

<sup>۲</sup>- اگر عضو دارای دو صفحه تقارن عمودی و افقی باشد (برای مثال، مانند عضوی با سطح مقطع چهارگوش)، و منحنی انش-کرنش آنی در حالت کشش و فشار یکسان باشد، سطح خشی منطبق با صفحه تقارن عضو خواهد بود.

یا با استفاده از معادله (۱۱-۴)،

$$\sigma_x = -\frac{y}{c}\sigma_m \quad (12-4)$$

که  $\sigma_m$  بیانگر بیشترین مقدار مطلق تنش است. این رابطه نشان می‌دهد که در ناحیه الاستیک، تنش عمودی به طور خطی با فاصله از سطح خنثی تغییر می‌کند (شکل ۱۳-۴). باستی خاطرنشان کنیم که کما کان محل سطح خنثی و بیشترین مقدار تنش  $\sigma_m$  رانمی دانیم، اما با استفاده از معادلات (۱-۴) و (۳-۴) که از روابط استاتیک بدست آمدند می‌توان آنها را پیدا کرد. با جایگذاری مقدار  $\sigma_x$  از معادله (۱۲-۴) در (۱-۴) می‌توان چنین نوشت:

$$\int \sigma_x dA = \int \left( -\frac{y}{c} \sigma_m \right) dA = -\frac{\sigma_m}{c} \int y dA = 0$$

که از آنجا چنین نتیجه می‌شود:

$$\int y dA = 0 \quad (13-4)$$

این معادله نشان می‌دهد که گشتاور اول این سطح مقطع نسبت به محور خنثی آن باید صفر باشد.<sup>۳</sup> به عبارت دیگر، برای عضوی که تحت خمش خالص قرار دارد، مادامی که تنشها در ناحیه الاستیک باقی بمانند، محور خنثی از مرکز سطح مقطع می‌گذرد. معادله (۳-۴) را به خاطر آورید که در بخش ۲-۴ نسبت به یک محور افقی دلخواه  $z$  بدست آمد:

$$\int (-y \sigma_x dA) = M \quad (3-4)$$

با توجه به اینکه محور  $z$  باید منطبق با محور خنثی سطح مقطع باشد، مقدار  $\sigma_x$  را از معادله (۱۲-۴) در معادله (۳-۴) قرار می‌دهیم:

$$\int (-y) \left( -\frac{y}{c} \sigma_m \right) dA = M$$

یا

$$\frac{\sigma_m}{c} \int y^2 dA = M \quad (14-4)$$

با توجه به اینکه در حالت خمش خالص، محور خنثی از مرکز سطح مقطع می‌گذرد، خاطرنشان می‌کنیم که ۱ گشتاور اینرسی یا گشتاور دوم سطح مقطع نسبت به محوری است که از مرکز سطح می‌گذرد و عمود بر صفحه کوبیل  $M$  است. با حل معادله (۱۴-۴) برای  $\sigma_m$  چنین خواهیم داشت؟

$$\sigma_m = \frac{Mc}{I} \quad (15-4)$$

با جایگذاری مقدار  $\sigma_m$  از معادله (۱۵-۴) در رابطه (۱۲-۴)، مقدار تنش عمودی  $\sigma_x$  در هر فاصله  $y$  از محور خنثی را بدست می‌آوریم:

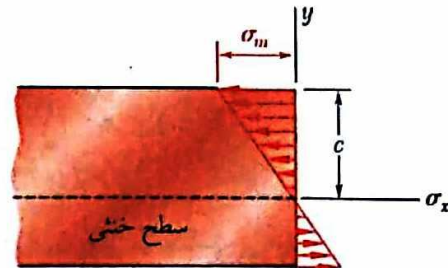
$$\sigma_x = -\frac{My}{I} \quad (16-4)$$

معادلات (۱۵-۴) و (۱۶-۴) به روابط خمش الاستیک<sup>\*</sup> موسومند و تنش عمودی  $\sigma_x$  ناشی از خمش عضو را معمولاً تنش خمشی<sup>\*\*</sup> گویند. هنگامی که گشتاور خمشی  $M$  ثابت باشد، تنشها در

\* elastic flexure formulas  
\*\* flexural stress

<sup>۳</sup>- برای بحث پیامون گشتاور سطوح به پوست «الف» نگاه کنید.

<sup>۴</sup>- گشتاور خمشی را مثبت فرض کردیم. اگر گشتاور خمشی منفی باشد،  $M$  در معادله (۱۵-۴) را باید با مقدار مطلق آن  $|M|$  جایگزین کنیم.



شکل ۱۳-۱۵

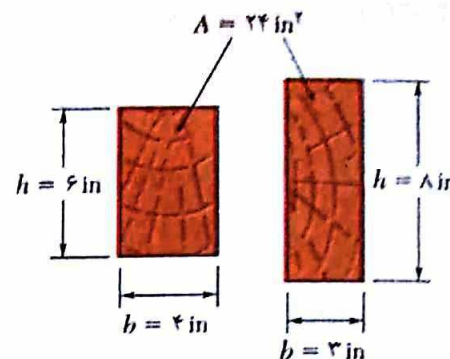
بالای محور خشی (یعنی  $\sigma_x > 0$ ) فشاری ( $\sigma_y < 0$ ), و در صورت منفی بودن  $M$ , تنشها کششی ( $\sigma_x < 0$ ) خواهند بود.

باتوجه به معادله (۱۵-۴) می‌بینیم که نسبت  $I/c$  تنها بستگی به شکل هندسی سطح مقطع دارد. این نسبت را مدول مقطع الاستیک<sup>\*</sup> می‌نامند و آن را با  $S$  نمایش می‌دهند. به این ترتیب،

$$(17-4) \quad S = \frac{I}{c} = \text{مدول مقطع الاستیک}$$

با قرار دادن  $S$  به جای  $I/c$  در معادله (۱۵-۴)، آن را به صورت زیر می‌نویسیم:

$$(18-4) \quad \sigma_m = \frac{M}{S}$$



شکل ۱۶-۴

\* elastic section modulus

از آنجاکه بیشترین تنش  $\sigma_m$  نسبت معکوس با مدول مقطع الاستیک  $S$  دارد، روشن است که در طراحی باید دقت کرد که تیرها تا حد امکان بیشترین  $S$  را داشته باشند. به عنوان مثال، برای یک تیر چوبی با مقطع چهارگوش به پهنهای  $b$  و ارتفاع  $h$  چنین داریم:

$$(19-4) \quad S = \frac{I}{c} = \frac{\frac{1}{12}bh^3}{h/2} = \frac{1}{4}bh^2 = \frac{1}{4}Ah$$

که  $A$  مساحت مقطع تیر است. این رابطه نشان می‌دهد که بین دو تیر با مساحت مقطع یکسان (شکل ۱۴-۴) تیری دارای مدول مقطع بیشتری است که  $h$  بزرگتری داشته باشد، که این به معنی مقاومت بیشتر در مقابل خمش است.<sup>۹</sup>

برای سازه‌های فولادی، تیرهای استاندارد امریکایی (تیرهای  $S$ ) و تیرهای بالپهن (تیرهای  $W$ )، (شکل ۱۵-۴)، به این علت که بخش بزرگی از سطح مقطع آنها در دورترین فاصله از محور خشی قرار دارد (شکل ۱۶-۴) ارجحیت بیشتری نسبت به مقاطع دیگر دارند. بنابراین، برای یک مساحت معین و یک ارتفاع مشخص، طرحی بهتر است که بیشترین  $I$  و در نتیجه بیشترین  $S$  را بدست دهد. مقادیر مدول مقطع الاستیک برای تیرهای فولادی متداول در جداولی که برای شکلها و اندازه‌های مختلف این نوع تیرها وجود آمده است. برای تعیین بیشترین تنش  $\sigma_m$  در مقطع معینی از یک تیر استاندارد، کافی است مهندس طراح مقدار مدول مقطع الاستیک  $S$  را از جدول خواند، سپس گشتاور خمی  $M$  در این مقطع را برابر  $S$  تقسیم کند.

تغییر شکل عضو در اثر گشتاور خمی  $M$  را توسط میزان خمیدگی سطح خشی اندازه‌گیری می‌کنند. خمیدگی تیر به صورت عکس شعاع انحنای  $\rho$  تعریف می‌شود و از حل معادله (۹-۴) برای  $1/\rho$  بدست می‌آید:

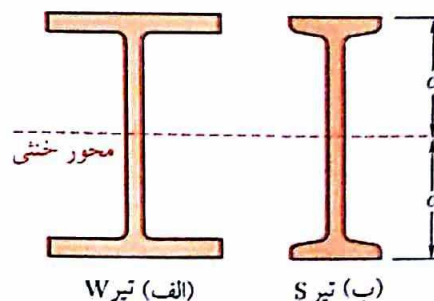
$$(20-4) \quad \frac{1}{\rho} = \frac{\epsilon_m}{c}$$

اما می‌دانیم که در ناحیه الاستیک رابطه  $\epsilon_m = \sigma_m/E$  برقرار است. با جایگذاری مقدار  $\epsilon_m$  در معادله (۲۰-۴) و باتوجه به معادله (۱۵-۴) چنین خواهیم داشت:

$$\frac{1}{\rho} = \frac{\sigma_m}{Ec} = \frac{1}{Ec} \frac{Mc}{I}$$

یا

$$(21-4) \quad \frac{1}{\rho} = \frac{M}{EI}$$



شکل ۱۶-۵

<sup>۹</sup> توجه داشته باشید که مقادیر بزرگ  $h/b$  می‌تواند موجب ناپایداری جانی تیر شوند.

## مثال ۱-۴



شکل ۱۷-۱۴

یک میله فولادی با مقطع چهارگوش و ابعاد  $2.5 \times 10.8 \text{ in}$  تحت یک جفت کوپل مخالف و مساوی که به صفحه تقارن عمودی میله وارد می‌شوند قرار دارد (شکل ۱۷-۴). مقدار گشتاور خمی  $M$  را که منجر به تسیم این میله می‌شود تعیین کنید. فرض کنید  $\sigma_y = 36 \text{ ksi}$  است.

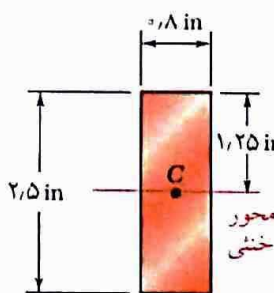
از آنجاکه محور خنثی باید از مرکز سطح مقطع میله  $C$  عبور کند، چنان خواهیم داشت  $c = 1.25 \text{ in}$  (شکل ۱۸-۴)، از طرف دیگر، گشتاور اینترسی یک سطح مقطع چهارگوش نسبت به مرکز سطح آن برابر است با:

$$I = \frac{1}{12} b h^3 = \frac{1}{12} (10.8 \text{ in})(2.5 \text{ in})^3 = 1,042 \text{ in}^4$$

با حل معادله (۱۵-۴) برای  $M$ ، و جایگذاری مقدار بالا در آن، چنان خواهیم داشت:

$$M = \frac{I}{c} \sigma_m = \frac{1,042 \text{ in}^4}{1.25 \text{ in}} (36 \text{ ksi})$$

$$M = 30 \text{ kip} \cdot \text{in}$$



شکل ۱۸-۴

## مثال ۲-۴

مختصات عرضی مرکز سطح میله  $\bar{y}$  برابر است با:

$$\bar{y} = \frac{4r}{3\pi} = \frac{4(12 \text{ mm})}{3\pi} = 5.093 \text{ mm}$$

محور خنثی از مرکز سطح  $C$  می‌گذرد و فاصله آن تا دورترین نقطه سطح مقطع برابر است با:

$$c = r - \bar{y} = 12 \text{ mm} - 5.093 \text{ mm} = 6.907 \text{ mm}$$

با استفاده از معادله (۹-۴) می‌توان چنین نوشت:

$$\epsilon_m = \frac{c}{\rho} = \frac{6.907 \times 10^{-3} \text{ m}}{2.5 \text{ m}} = 2.763 \times 10^{-3}$$

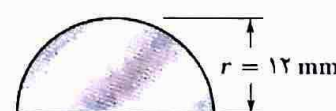
و با بکارگیری قانون «هوک»،

$$\sigma_m = E \epsilon_m = (70 \times 10^9 \text{ Pa})(2.763 \times 10^{-3}) = 193.4 \text{ MPa}$$

از آنجاکه این وجه در طرف مقابل مرکز انحنای قرار دارد، تنش ایجاد شده در آن از نوع کششی است. بیشترین تنش فشاری در وجه زیرین این میله رخ می‌دهد. با استفاده از این مطلب که میزان تنش متناسب با فاصله از محور خنثی است، می‌توان چنین نوشت:

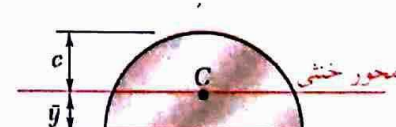
$$\sigma_{comp} = -\frac{\bar{y}}{c} \sigma_m = -\frac{5.093 \text{ mm}}{6.907 \text{ mm}} (193.4 \text{ MPa}) = -142.6 \text{ MPa}$$

یک میله آلومینیمی، با مقطع نیمداire و شعاع  $r = 12 \text{ mm}$  (شکل ۱۹-۴) به صورت کمانی از دایره با شعاع متوسط  $\rho = 2.5 \text{ m}$  خم می‌شود. چنانچه وجه مسطح این میله به سمت مرکز انحنای باشد، بیشترین تنش کششی و فشاری در میله را پیدا کنید.  $E = 70 \text{ GPa}$  است.



شکل ۱۹-۴

برای تعیین گشتاور خمی  $M$  که انحنایی با شعاع  $\rho$  در میله ایجاد می‌کند می‌توان از معادله (۲۱-۴) استفاده کرد، سپس، از معادله (۱۵-۴) تنش  $\sigma_m$  را بدست آورد. با این وجود، راحت‌تر است که از معادله (۹-۴)،  $\epsilon_m$  را تعیین و با استفاده از قانون «هوک»، مقدار  $\sigma_m$  را بدست آورد.



شکل ۲۰-۴